

НЕСИММЕТРИЧНОЕ РАСПЩЕПЛЕНИЕ ЭКСИТОННЫХ СОСТОЯНИЙ В ПОЛУМАГНИТНОМ ПОЛУПРОВОДНИКЕ $Cd_{1-x}Mn_xS$

С. И. Губарев, М. Г. Тяжлов

Обменное взаимодействие с локализованными 3d-электронами магнитной примеси приводит к гигантским спиновым расщеплениям (ГСР) состояний валентной зоны и зоны проводимости в полумагнитных полупроводниках (ПМП) [1, 2]. В работе [3] было показано, что величина константы $p-d$ -обменного взаимодействия в кристаллах $Cd_{1-x}Mn_xS$ почти в 3 раза превышает значения, характерные для других ПМП на основе A_2B_6 полупроводниковых соединений. Кроме того, была обнаружена зависимость этой константы от концентрации магнитной примеси x в области малых концентраций. Такая зависимость объяснялась в [3] резонанс-

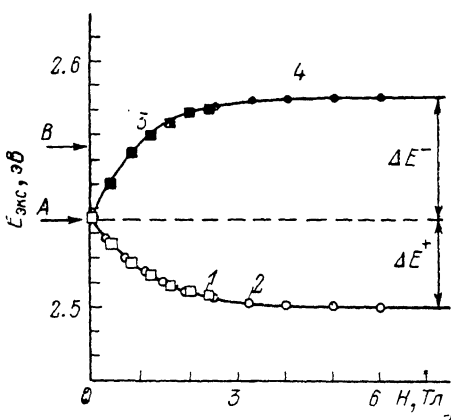


Рис. 1. Зависимость спектрального положения σ^+ (1, 2)- и σ^- (3, 4)-компонент A -экспонента от величины магнитного поля.

1, 3 — спектры модуляционного отражения dR/dH ; 2, 4 — спектры отражения кристалла R . Стрелками показано положение A - и B -экспонента в нулевом магнитном поле.

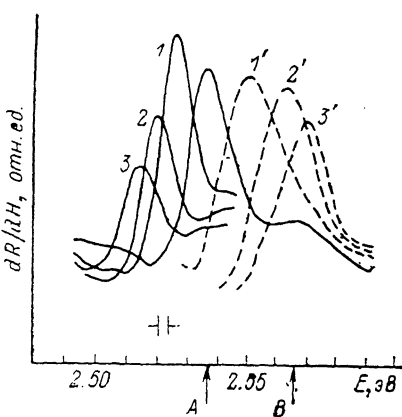


Рис. 2. Спектры модуляционного отражения dR/dH кристаллов $Cd_{1-x}Mn_xS$ ($x=0.014$) в σ^+ (1—3) и σ^- (1'—3') циркулярных поляризациях.

H , Тл: 1, 1' — 0.4; 2, 2' — 0.8; 3, 3' — 1.2. Стрелками показано положение A - и B -экспонента в нулевом магнитном поле.

ным характером $p-d$ -обменного взаимодействия в кристаллах $Cd_{1-x}Mn_xS$. Целью настоящей работы является изучение спиновых расщеплений экскитонных термов в условиях такого резонансного взаимодействия.

Исследовались спектры отражения кристаллов с мольной долей Mn $x=0.014$ в условиях нормального падения света в геометрии Фарадея. Направление магнитного поля совпадало с гексагональной осью кристалла C_6 и направлением наблюдения. Измерения велись при гелиевых температурах в магнитных полях до 5 Тл. Исследовались также спектры модуляционного отражения (dR/dH) (H). При этом на постоянное магнитное поле накладывалось небольшое переменное $H_1 \sim 200$ Э. Эффективность модуляционной методики в ПМП связана с эффектами ГСР, поскольку даже небольшое магнитное поле приводит к заметному спектральному сдвигу экскитонных термов $E_{\text{эксп}}(H)$.

На рис. 1 изображено энергетическое положение σ^+ - и σ^- -компонент A -экскитонного терма как функция магнитного поля. В магнитном поле $H \parallel C_6$ A -экскитонный терм расщепляется на два терма Γ_5^+ и Γ_5^- , активные в σ^+ - и σ^- -поляризациях [4]. Положение B -экскитонного терма практически не зависит от магнитного поля. Величина расщепления A -экскитонного

терма в исследуемых кристаллах составляет 86 мэВ и существенно превышает расстояние между A - и B -эксситонными термами. Флуктуации обменного взаимодействия сильно уширяют эксситонные линии по сравнению с чистыми кристаллами. Вследствие этого эксситонные линии слабо разрешаются в области магнитных полей, отвечающих пересечению Γ_5^+ -эксситонного терма с B -эксситоном, и спектральное положение Γ_5^- -терма удается надежно определить только в области больших спиновых расщеплений ($H > 10$ кЭ). Положение Γ_5^+ -терма можно определить во всем диапазоне магнитных полей. Из рис. 1 видно, что положение A -эксситона в нулевом магнитном поле несимметрично по отношению к σ^+ и σ^- компонентам в насыщающих магнитных полях. В области промежуточных магнитных полей положение Γ_5^- -терма удается определить с помощью модуляционной методики. Спектр модуляционного сигнала dR/dH в исследуемых кристаллах

$$\frac{dR}{dH} = -\frac{\partial R}{\partial(E - E_{\text{экс}}(H))} \frac{\partial E_{\text{экс}}}{\partial H} + \frac{\partial R}{\partial H} = -\frac{\partial R}{\partial E} \frac{dE_{\text{экс}}}{dH} + \frac{\partial R}{\partial H} \quad (1)$$

формируется в основном за счет эффектов ГСР (первый член в выражении (1)). Второй член в выражении (1) $\partial R/\partial H$ связан с изменением формы линии эксситонного отражения в магнитном поле и в исследуемых кристаллах составляет малую часть от полного сигнала. Большая величина первого члена обусловлена гигантскими спиновыми расщеплениями A -эксситонного состояния в $\text{Cd}_{1-x}\text{Mn}_x\text{S}$ кристаллах. Поскольку спиновое расщепление B -эксситона в $\text{Cd}_{1-x}\text{Mn}_x\text{S}$ на порядок меньше [4], то в модуляционных спектрах проявляется особенность, связанная исключительно с A -эксситонным состоянием. Таким образом, изучение модуляционных спектров dR/dH позволяет проследить за спектральным положением A -эксситона даже в области пересечения эксситонных термов.

На рис. 2 изображены модуляционные спектры (dR/dH) (E) в σ^+ - и σ^- -циркулярных поляризациях. Форма и ширина линии A -эксситона слабо меняются с ростом магнитного поля, в то время как амплитуда резонанса уменьшается в больших полях из-за насыщения спиновой поляризации магнитной подсистемы. Спектральное положение Γ_5^+ - и Γ_5^- -термов, определенное модуляционным методом, хорошо совпадает с данными, полученными из спектров отражения кристалла $R(H)$ (рис. 1). Из этого рисунка видно, что картина спиновых расщеплений A -эксситонного терма в магнитном поле несимметрична относительно положения в поле $H=0$.

Величина сдвига Γ_5^+ - и Γ_5^- -эксситонных термов в насыщающих магнитных полях составляет

$$\Delta E^+ = E_{\text{экс}}^+(H) - E_{\text{экс}}(0) = -36 \text{ мэВ}, \quad \Delta E^- = E_{\text{экс}}^-(H) - E_{\text{экс}}(0) = 50 \text{ мэВ},$$

$$\Delta E^+/\Delta E^- \approx -0.7. \quad (2)-(4)$$

Поскольку расщепление зоны проводимости существенно меньше расщепления валентной зоны и в исследованных кристаллах не превышает 8 мэВ, естественно связать наблюдаемое несимметричное расщепление A -эксситонного терма с асимметрией спинового расщепления валентной зоны.

Природа сильного $p-d$ -обменного взаимодействия в ПМП связана с гибридизацией d -состояний Mn и p -состояний валентной зоны. Константа $p-d$ -обменного взаимодействия в рамках трехуровневой модели, предложенной в работах [5, 6], описывается следующим выражением:

$$J_{pd} = -2 |V_{pd}|^2 \left(\frac{1}{\epsilon_p - \epsilon_d} + \frac{1}{\epsilon_d + U - \epsilon_p} \right). \quad (5)$$

Здесь V_{pd} — матричный элемент $p-d$ -гибридизации; ϵ_p — энергия края валентной зоны; ϵ_d и $\epsilon_d + U$ — энергии $3d$ -термов Mn в кристалле. Первый член в формуле (5) описывает гибридизацию $5p \uparrow$ -состояний серы с заполненной оболочкой Mn ($3d_+$), а второй — гибридизацию $5p \downarrow$ -состояний с пустыми $3d$ -состояниями Mn.

Аномально большая величина $p-d$ -обменного взаимодействия в кристаллах $Cd_{1-x}Mn_xS$ связана с резонансным характером $p-d$ -гибридизации. Согласно расчетам [7], $\epsilon_p - \epsilon_d$ в $Cd_{1-x}Mn_xS$ много меньше, чем $\epsilon_d + U - \epsilon_p$. В этом случае главный вклад в обменное взаимодействие дает первый член в формуле (5). Гибридизация с пустыми d -состояниями Mn, по-видимому, гораздо слабее и значительно меньше возмущает состояния носителей в валентной зоне. Этот вывод подтверждают эксперименты, выполненные недавно в $Cd_{1-x}Mn_xS$ [8], где было обнаружено резкое уменьшение флуктуаций $p-d$ -обменного взаимодействия для $p\downarrow$ -состояний валентной зоны в насыщающих магнитных полях.

В отличие от твердых растворов обычных A_2B_6 полупроводников ПМП обладают также неупорядоченностью по спину, локализованному на узлах магнитной примеси. Эту неупорядоченность часто учитывают, рассматривая псевдотернарный раствор типа $Cd_{1-x}Mn_xMn_{x\downarrow}S$ [9]. Ионы магнитной примеси со спином $| \uparrow \rangle$ и $| \downarrow \rangle$ при этом расположены случайным образом в решетке кристалла. Суммарная концентрация $x\uparrow$ и $x\downarrow$ равна концентрации магнитной примеси x , а спиновая поляризация магнитной подсистемы определяется разностью $x\uparrow - x\downarrow$. В отсутствие магнитного поля $x\uparrow = x\downarrow = x/2$.

В случае резонансной гибридизации главный вклад в обменное взаимодействие для $p\uparrow$ -состояний обусловлен гибридизацией с занятymi $d\uparrow$ -состояниями магнитной примеси. Влияние магнитного поля эквивалентно изменению концентрации $x\uparrow$ от нуля до x : в сильном магнитном поле все атомы магнитной примеси поляризованы, при этом концентрация $x\uparrow$ мала, мала и гибридизация $p\uparrow$ -электронов с этими состояниями. При уменьшении магнитного поля до нуля концентрация увеличивается до $x\uparrow = x/2$, а при изменении знака магнитного поля продолжает расти до $x\uparrow = x$. Несимметричное расщепление экситонных термов, наблюдаемое нами в настоящей работе, свидетельствует о сублинейной зависимости $p-d$ -обмена от $x\uparrow$. Такое поведение согласуется с наблюдавшимся ранее уменьшением константы J_{pd} с ростом мольной доли Mn x [3]. Причины концентрационной зависимости константы $p-d$ -обмена в кристаллах $Cd_{1-x}Mn_xS$ в настоящее время до конца не ясны. Возможно, такое поведение связано с резонансным характером $p-d$ -обмена в этих кристаллах при малых концентрациях магнитной примеси. При этом эффективность $p-d$ -обменного взаимодействия увеличивается в несколько раз по сравнению с другими A_2B_6 ПМП. С ростом x интерференция процессов рассеяния на разных примесях приводит к нарушению резонансного характера $p-d$ -обмена и, как следствие, к уменьшению константы обменного взаимодействия J_{pd} .

Список литературы

- [1] Комаров А. В., Рябченко С. М., Терлецкий О. В., Жеру И. И., Иванчук Р. Д. // ЖЭТФ. 1977. Т. 73. № 2. С. 608–618.
- [2] Galazka R. R. // Proc. 14th Int. Conf. Phys. Semicond. Edinburgh, 1978. Р. 133–135.
- [3] Губарев С. И., Тяжлов М. Г. // Письма в ЖЭТФ. 1986. Т. 44. № 8. С. 385–387.
- [4] Губарев С. И. // ЖЭТФ. 1981. Т. 80. № 3. С. 1174–1185.
- [5] Bhattacharjee A. K., Fishman G., Coglin B. // Physica B. 1983. V. 117–118. P. 449–451.
- [6] Larson B. E., Haas K. C., Ehrenreich H., Carlsson S. // Phys. Rev. B. 1988. V. 37. N 8. P. 4137–4154.
- [7] Su-Huai Wei, Zunger A. // Phys. Rev. B. 1987. V. 35. N 5. P. 2340–2365.
- [8] Губарев С. И., Тяжлов М. Г. // Письма в ЖЭТФ. 1988. Т. 48. № 8. С. 437–440.
- [9] Masek J., Velicky B., Janis V. // J. Phys. C. 1987. V. 20. N 1. P. 59–68.

Институт физики твердого тела АН СССР
Черноголовка
Московская область

Поступило в Редакцию
8 августа 1989 г.